

ESCOAMENTOS COM MOVIMENTOS SECUNDÁRIOS EM DUTOS

A.A.F. Donaggio, D.V.A. Junior

Departamento de Engenharia Mecânica, Universidade Federal de Engenharia de Itajubá, Av.
BPS, 1303, Pinheirinho, Itajubá MG, cep: 37.500-000

Palavras Chaves: Escoamentos Secundários, Diferenças Finitas, Dutos.

RESUMO

Atualmente as ferramentas de análise numérica tem-se expandido e desenvolvido com intuito de resolver problemas da área da engenharia em geral. Esta análise numérica pode se desenvolver de várias formas e todas estas estão presentes em grande número na literatura internacional. O presente trabalho apresenta a análise numérica através do método de diferenças finitas aplicado a problemas de escoamento de fluídos e à transferência de calor.

O trabalho parte dos princípios da conservação da massa, quantidade de movimento e energia para estudar os problemas de escoamento de fluídos e transferência de calor onde é aplicado o método de diferenças finitas. Desenvolvem-se a teoria e os programas, de modo a obter as distribuições de temperatura, velocidade, vorticidade e função de corrente.

Este método numérico consiste na aproximação de uma dada equação diferencial por diferenças baseado na definição de derivadas. Desta forma, busca-se soluções numéricas aproximadas para as equações do problema, na forma:

$$\frac{\partial \phi}{\partial x} = \lim_{\Delta x \rightarrow 0} \frac{\phi(x + \Delta x) - \phi(x)}{\Delta x} , \quad (1)$$

Em princípio, o método de diferenças finitas pode ser aplicado para qualquer problema desde que, aproximações diferenciais das equações básicas possam ser realizadas. Contudo, este método se torna inviável ou incômodo quando o problema trata de geometrias mais complexas.

Considere um escoamento que se desenvolve num duto. Forças externas podem induzir movimentos transversais ao escoamento do fluido. Um exemplo típico de escoamento secundário é encontrado num duto curvo; componentes de escoamento secundário são gerados por diferenças de intensidade de forças centrífugas que atuam em seções transversais do duto.

A magnitude da força centrífuga é proporcional a w^2/r , onde w é a componente de velocidade de direção axial. Recorrendo à figura 1, as equações básicas em coordenadas (r, θ, z) que descrevem o escoamento desenvolvido são:

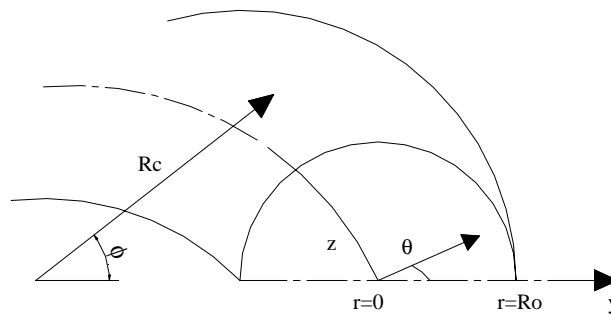


Figura 1: Relação entre a curvatura do duto e seu respectivo diâmetro

Equação de Continuidade:

$$\frac{\partial}{\partial r}(rV_r) + \frac{\partial V_\theta}{\partial \theta} = 0 , \quad \frac{\partial w}{\partial z} = 0 . \quad (2)$$

Equações Navier-Stokes:

$$V_r \frac{\partial w}{\partial r} + \frac{V_\theta}{r} \frac{\partial w}{\partial \theta} = -\frac{1}{\rho} \frac{\partial p}{\partial z} + \nu \left\{ \frac{1}{r} \frac{\partial}{\partial r} \left(r \frac{\partial w}{\partial r} \right) + \frac{1}{r^2} \frac{\partial^2 w}{\partial \theta^2} \right\} , \quad (3)$$

$$V_r \frac{\partial V_r}{\partial r} + \frac{V_\theta}{r} \frac{\partial V_r}{\partial \theta} - \frac{V_\theta^2}{r} = -\frac{1}{\rho} \frac{\partial p}{\partial r} - \frac{v}{r} \frac{\partial}{\partial \theta} \left\{ \frac{1}{r} \frac{\partial}{\partial r} (rV_\theta) - \frac{1}{r} \frac{\partial V_r}{\partial \theta} \right\} + F_r \quad , \quad (4)$$

$$V_r \frac{\partial V_\theta}{\partial r} + \frac{V_\theta}{r} \frac{\partial V_\theta}{\partial \theta} + \frac{V_r V_\theta}{r} = -\frac{1}{\rho r} \frac{\partial p}{\partial \theta} + v \frac{\partial}{\partial r} \left\{ \frac{1}{r} \frac{\partial}{\partial r} (rV_\theta) - \frac{1}{r} \frac{\partial V_r}{\partial \theta} \right\} + F_\theta \quad . \quad (5)$$

Equação da Energia:

$$V_r \frac{\partial T}{\partial r} + \frac{V_\theta}{r} \frac{\partial T}{\partial \theta} + w \frac{\partial T}{\partial z} = a \left\{ \frac{1}{r} \frac{\partial}{\partial r} \left(r \frac{\partial T}{\partial r} \right) + \frac{1}{r^2} \frac{\partial^2 T}{\partial \theta^2} \right\} \quad , \quad (6)$$

onde V_r , V_θ e w representam as componentes de velocidade nas direções r , θ e z , respectivamente.

As condições de contorno são:

$$v_\theta = 0 \quad , \quad \frac{\partial V_r}{\partial \theta} = 0 \quad , \quad \frac{\partial T}{\partial \theta} = 0 \rightarrow \text{com } \theta = 0, \pi \quad , \quad (7)$$

$$v_\theta = 0 \quad , \quad Vr = 0 \quad , \quad T = 0 \rightarrow \text{com } r = R_o \quad . \quad (8)$$

Quando a curvatura, R_c , do duto é suficientemente maior que o raio do mesmo, R_0 , tem-se a relação:

$$\frac{\partial}{\partial z} = \frac{1}{R_c} \frac{\partial}{\partial \phi} \quad . \quad (9)$$

A força centrífuga que surge devido à curvatura, é determinada por:

$$F_r = \frac{w^2}{R_c} \cos \theta \quad e \quad F_\theta = -\frac{w^2}{R_c} \sin \theta \quad . \quad (10)$$

As equações de (2) a (6) podem ser transformadas, usando as seguintes definições da vorticidade (ω) e da função corrente (ψ) dadas, respectivamente por:

$$\omega = \frac{1}{r} \frac{\partial}{\partial r} (rV_\theta) - \frac{1}{r} \frac{\partial V_r}{\partial \theta} \quad , \quad (11)$$

$$V_r = \frac{1}{r} \left(\frac{\partial \psi}{\partial \theta} \right) \quad e \quad V_\theta = -\frac{\partial \psi}{\partial r} \quad . \quad (12)$$

As figuras abaixo mostram a distribuição de velocidade, vorticidade, função corrente e temperatura na seção transversal de um duto aquecido (figura 2) e de um duto curvo (figura 3). Para o exemplo mostrado, foram considerados os seguintes parâmetros: número de Reynolds $Re = 1000$, número de Rayleigh $Ra = 200$ e número de Prandtl $Pr = 0,7$. Devido a simetria do problema, apenas metade da seção transversal do duto é mostrada.

A parede do duto é aquecida enquanto que o fluido que escoar se encontra numa temperatura inferior, desta forma, devido a convecção natural surgem movimentos secundários no fluido que passa a escoar também ao longo da seção do duto. Isto pode ser observado na figura 2(c) que mostra a função corrente do escoamento. Note que a vazão é igual entre as linhas, desse modo, onde as linhas de corrente estão mais próximas, existe maior velocidade de recirculação do fluido. O escoamento principal ocorre perpendicularmente ao plano da figura, e no caso dos dutos curvos, deve-se adotar que a curvatura esteja a esquerda da figura. As distribuições das velocidades do escoamento principal podem ser vistas nas figuras 2(a) e 3(a). As distribuições de temperatura podem ser observadas nas figuras 2(d) e 3(d). Pode-se notar que as menores temperaturas estão mais próximas do centro.

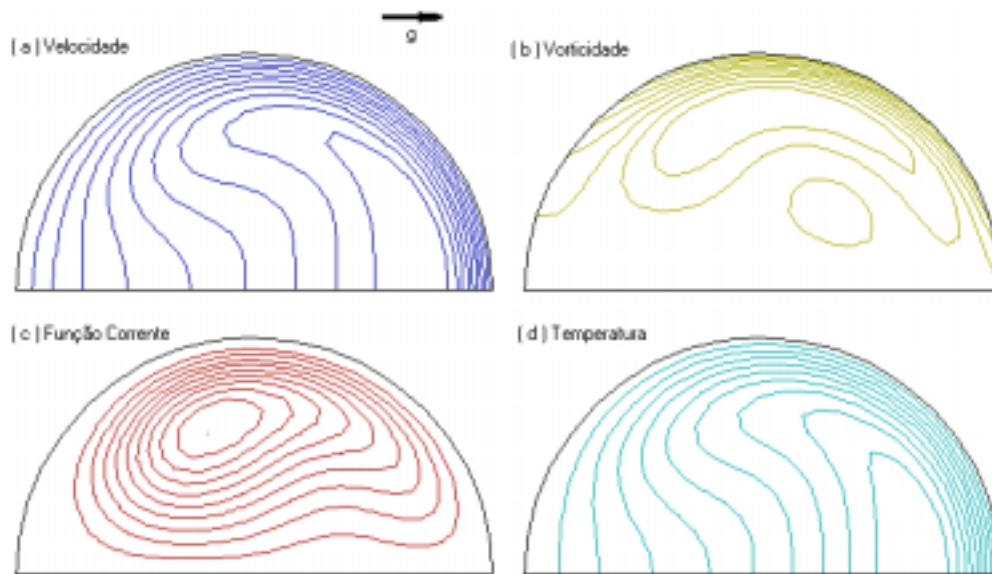


Figura 2: Duto aquecido

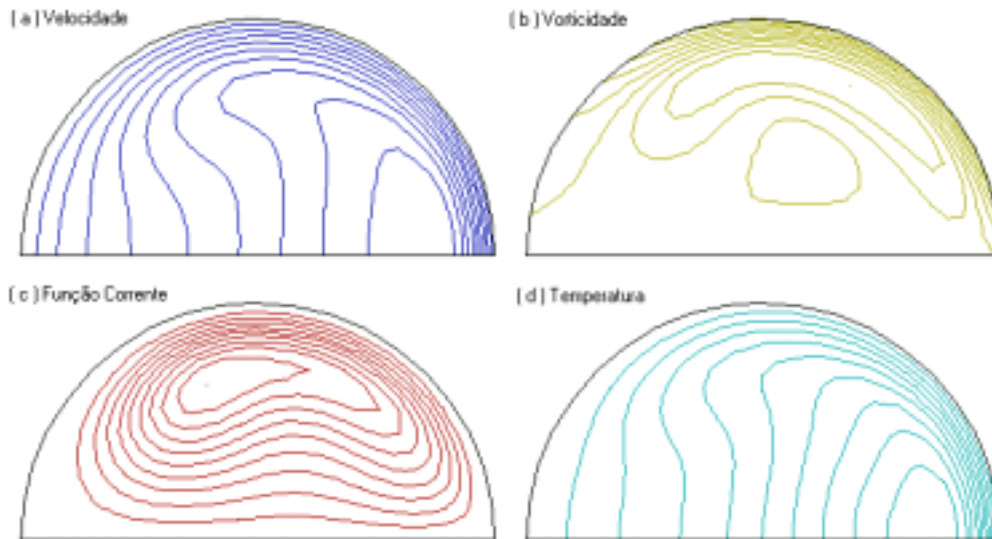


Figura 3: Duto curvo

Agradecimentos: os autores agradecem à **CNPq, Conselho Nacional de Desenvolvimento Científico e Tecnológico**, pela oportunidade e apoio dispensados e ao orientador professor **Dr. Genésio José Menon** pela paciência e conhecimentos dedicados, sem o qual o trabalho não seria possível

REFERÊNCIAS BIBLIOGRÁFICAS:

Donaggio A. A. F. – Relatório Final do Projeto - Simulação Numérica de Problemas da Mecânica dos Fluídos e da Transferência de Calor Utilizando o Método de Diferenças Finitas, CNPq, julho de 2001.
 Maliska, C. R., Transferência de Calor e Mecânica dos Fluídos Computacional, Livros Técnicos e Científicos Editora S.A., 1995.
 Carnahan, B.; Luther, H. A. and Wilkers, J. O., Applied Numerical Methods, John Wiley & Sons, Inc., 1969.